

对 γ 不灵敏的 PIN 脉冲中子探测器 *

杨洪琼^{1;1)} 朱学彬¹ 彭太平¹ 唐正元¹ 杨高照¹
李林波¹ 宋献才² 胡孟春¹

1 (中国工程物理研究院核物理与化学研究所 绵阳 621900)

2 (中国工程物理研究院电子工程研究所 绵阳 621900)

摘要 将 PIN 半导体制成特殊组合结构的 PIN 脉冲中子探测器, 利用三通道装置产生的 γ 脉冲和中子发生器 DT 反应产生的 14MeV 中子脉冲对探测器进行了研究。结果表明: PIN 脉冲中子探测器对脉冲 γ 辐射不灵敏, 对脉冲中子辐射的灵敏程度依赖于中子辐射转换靶, 探测器的信噪比达到 30:1, 是一种在中子、 γ 混合脉冲辐射场中测量脉冲中子的新型探测器。

关键词 PIN 探测器 脉冲中子测量 n, γ 混合辐射场

1 引言

对中子的探测主要通过中子与物质原子核相互作用, 产生能引起电离效应的次级带电粒子来进行, 例如: 利用核反应(n, α)、核反冲(n, p)、核裂变(n, f)以及活化等。

在 n, γ 混合脉冲辐射场中, 常采用飞行时间法原理, 将 n, γ 辐射脉冲分开, 实现对脉冲中子的探测。但是, 在某些实验装置条件下, 往往因为测量的空间和距离受到限制, 不能采用成熟的 n, γ 飞行时间差甄别混合辐射场中的 γ , 因此, 在测量中实现 n, γ 分辨成为难题, 必须研究一种对 γ 不灵敏的脉冲中子探测器。

PIN 半导体探测器对中子和 γ 辐射都灵敏, 常用于中子和 γ 辐射测量^[1-3], 根据 n, γ 混合脉冲辐射场的特点^[4,5], 在 γ 测量中研究了对中子相对不灵敏的探测器^[6], 在中子测量中, 利用差分补偿原理, 研制了特殊组合结构的 PIN 脉冲中子探测器, 其中采用了特殊配套电路, 对组合半导体探测器存

在的不对称性进行调制补偿, 使其达到很高的信噪比, 成为一种对 γ 不灵敏的 PIN 脉冲中子探测器。

目前, 在三通道脉冲发生器和脉冲中子发生器(简称 DPF)装置上, 利用其产生的 γ 脉冲和 DT 中子脉冲, 对 PIN 脉冲中子探测器进行了研究, 并与闪烁探测器对 DT 中子脉冲的响应作了比较。结果表明: 探测器对 γ 脉冲辐射不灵敏; 对中子脉冲辐射的灵敏程度依赖于中子辐射转换靶; 探测器的信噪比达到 30:1。研究获得了预期的满意效果。

2 探测器的结构

新型 PIN 脉冲中子探测器, 应用差分补偿原理, 将两个尺寸、灵敏层厚度、材料参数等相同的 PIN 半导体, 采用特殊的制作工艺, 组成新型的 PIN 半导体对。如图 1 所示。

要使两个 PIN 半导体的尺寸、灵敏层厚度、材料参数、暗电流等完全相同, 除了需要在研制过程中采取措施控制外, 制作完成后的 PIN 半导体对, 还需要采用电子线路配合, 对存在的不对称性进行调制补

2003-11-11 收稿, 2004-01-06 收修改稿

* 中国工程物理研究院科学技术基金(20030210)和中国工程物理研究院专项课题(J09-303)资助

1) E-mail: LXL4_me 1979@163.com

偿。调制好的 PIN 半导体对才能达到补偿的目的。

PIN 脉冲中子探测器,是由 PIN 半导体对和安装在它的入射端的中子辐射转换靶——聚乙烯薄膜(CH_2)组成。

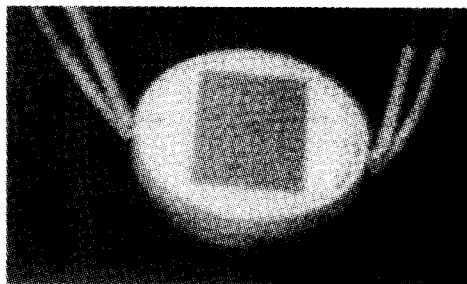


图 1 PIN 半导体对

PIN 脉冲中子探测器始终施加反偏压,当脉冲中子和 γ 辐射同时直接入射到 PIN 脉冲中子探测器上,中子和 γ 辐射在 PIN 半导体中直照产生的电子-空穴对(e, h)抵消,只有中子在聚乙烯薄膜(CH_2)上产生的反冲质子在 PIN 脉冲中子探测器中形成的电子-空穴对对输出信号有贡献,而 γ 辐射在聚乙烯薄膜(CH_2)上产生的干扰完全可以忽略,因此,PIN 脉冲中子探测器的输出信号为负信号。换言之,当采用 γ 脉冲辐射标定 PIN 脉冲中子探测器时,探测器信号输出为“零”;当采用中子脉冲辐射标定时,探测器信号输出为负信号。

3 PIN 脉冲中子探测器对 γ 不灵敏

在三通道脉冲发生器 Cr C67 装置上,分别利用 ns 通道和 ps 通道(γ 辐射能量平均值 $\sim 0.7\text{MeV}$,脉冲 FWHM $\sim 2\text{ns}$ 和 $\sim 0.2\text{ns}$)产生的 γ 辐射脉冲,研究了 PIN 脉冲中子探测器对 γ 的灵敏程度。三通道脉冲发生器 Cr C67 实验装置图见图 2。

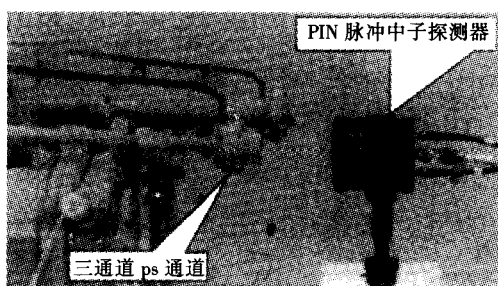


图 2 三通道实验装置图

补偿调制后的 PIN 半导体对的输出 γ 脉冲波形(同一发脉冲)见图 3。PIN 脉冲中子探测器的输

出 γ 脉冲波形见图 4。常用 PIN 探测器和 PIN 脉冲中子探测器(无中子辐射转换靶 CH_2)的输出 γ 脉冲波形比较(同一发脉冲)见图 5,这里,常用 PIN 探测器的尺寸参数与 PIN 脉冲中子探测器相同。

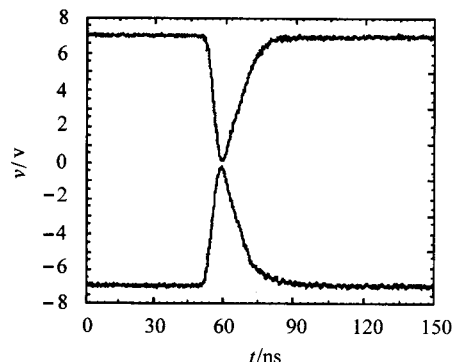


图 3 调制后的 PIN 半导体对的输出 γ 波形
上波形:1#输出;下波形:2#输出。

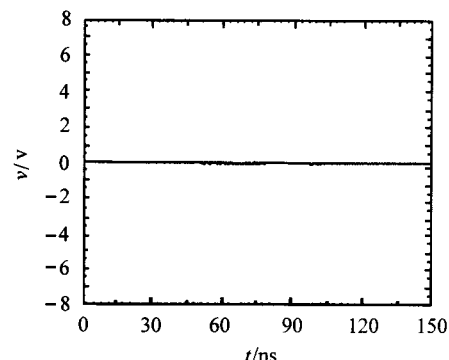


图 4 PIN 脉冲中子探测器的输出 γ 波形

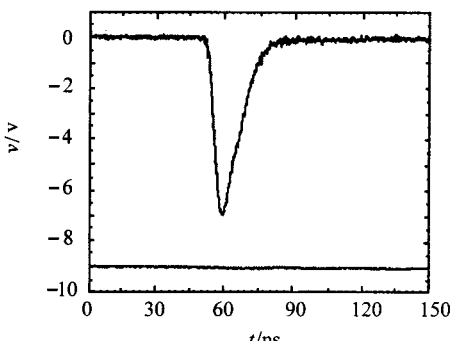


图 5 常用 PIN 探测器和 PIN 脉冲中子探测器输出 γ 波形比较

上:常用 PIN 探测器;下:无靶的 PIN 脉冲中子探测器。

由图 4 和图 5 表明:PIN 脉冲中子探测器对 γ 脉冲辐射不灵敏; γ 辐射在聚乙烯薄膜(CH_2)上产生的干扰完全可以忽略。

4 PIN 脉冲中子探测器对 DT 中子的响应

ИНГ-103型脉冲中子发生器(简称DPF),中子是在一个特殊的真空装置——等离子区聚集的腔内产生的,DPF工作在单次中子脉冲方式。DPF产生的脉冲中子能量为14MeV(DT反应),脉冲中子产额 1×10^9 — 5×10^9 ,脉冲的FWHM<10ns。

利用DPF产生的DT中子,研究了PIN脉冲中子探测器对DT中子的响应。DPF实验装置示意图见图6,图中, PIN脉冲中子探测器包有铜网,是由于无辐射转换靶CH₂时的输出信号太小,采用铜网屏蔽电磁干扰。

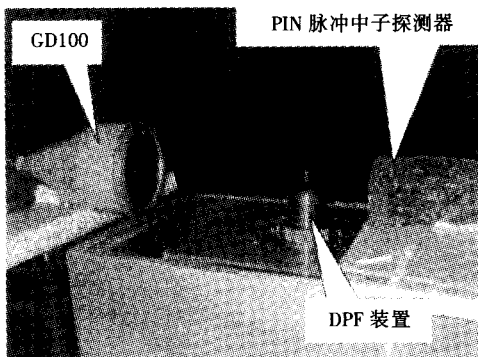


图6 DPF实验装置图

补偿调制后的PIN半导体对的输出DT中子脉冲波形(同一发脉冲)见图7;PIN脉冲中子探测器和无CH₂辐射转换靶的输出DT中子脉冲波形见图8;PIN脉冲中子探测器的输出波形与闪烁探测器的输出波形比较(分别为同一发脉冲)见图9、图10和图11。

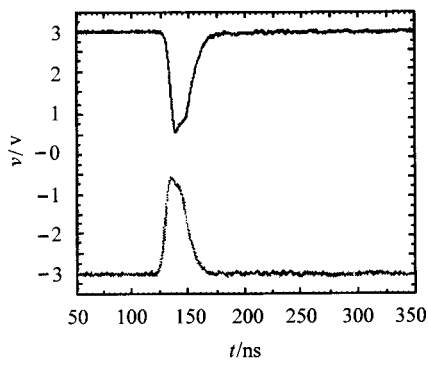


图7 调制后的PIN半导体对的输出DT中子波形
上:1#输出;下:2#输出。

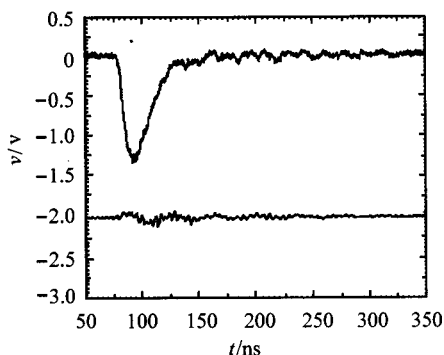


图8 PIN脉冲中子探测器的输出DT中子波形
上:PIN脉冲中子探测器输出;下:无CH₂靶的输出。

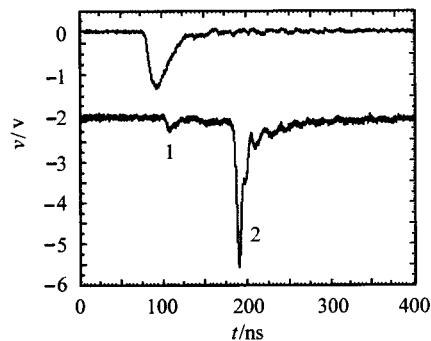


图9 PIN脉冲中子探测器与PMT输出波形比较
上:PIN脉冲中子探测器;下:PMT探测器输出。

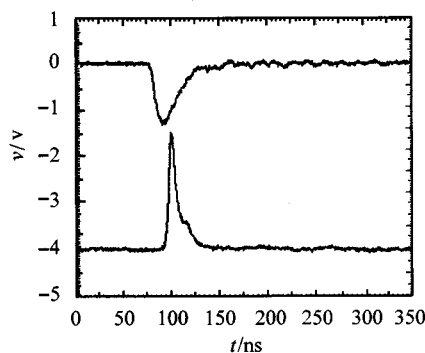


图10 PIN脉冲中子探测器与GD100输出波形比较
上:PIN脉冲中子探测器;下:GD100探测器输出。

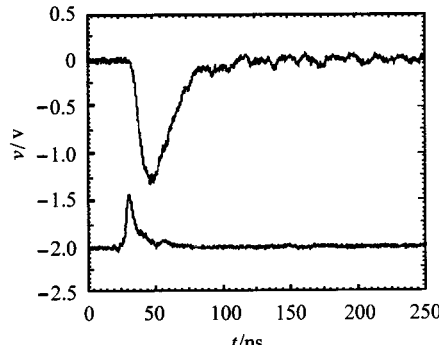


图11 PIN脉冲中子探测器与GD40输出波形比较
上:PIN脉冲中子探测器;下:GD40探测器输出。

这里,闪烁探测器 PMT 是指 PMT0247 光电倍增管加 ST401 闪烁体($\phi 50\text{mm} \times 20\text{mm}$)组成,它放置在距离中子源 5m 处。在图 9 的下波形中,测量获得的波形显示出了 γ 和中子的独立脉冲,标有 1 的前面幅度小的波形是 γ 脉冲,标有 2 的是 DT 中子波形,两波形的时间差是 γ 和 DT 中子飞行时间差。

闪烁探测器 GD100 是指 GD100 光电管加 ST401 闪烁体组成;闪烁探测器 GD40 是指 GD40 光电管加 ST401 闪烁体组成。PIN 半导体对、GD100 和 GD40 放置分别在距离中子源 6—16cm 之间,由于距离太近以及脉冲中子源本身的宽度, γ 和 DT 中子的飞行时间差不能将 γ 和中子波形分开。因此,在图 7 中和图 10、图 11 的下波形中,分别只显示出一个波形,这个波形是 γ 脉冲和 DT 中子脉冲的叠加。

而在图 8—11 的上波形中,显示的脉冲是 PIN 脉冲中子探测器的输出,尽管探测器距离中子源很近,但由于对 γ 不灵敏,波形只有 DT 中子在 CH_2 靶上产生的反冲质子在探测器中的贡献;图 8 中的下

波形是无 CH_2 靶时的 PIN 脉冲中子探测器的 DT 中子输出。由此可以得出:PIN 脉冲中子探测器对脉冲中子辐射的灵敏程度依赖于中子辐射转换靶,采用不同厚度的 CH_2 转换靶,可以获得不同幅度的 DT 中子输出波形。

DPF 产生的脉冲中子能量为 2.5MeV(DD 反应)时,由于脉冲中子产额低,没有进行测量。

5 结论

根据目前的研究结果表明:PIN 脉冲中子探测器对 γ 脉冲辐射不灵敏;对中子脉冲辐射的灵敏程度依赖于中子辐射转换靶;探测器的信噪比达到 30:1;研究获得了预期的满意效果。

在 n,γ 混合脉冲辐射场中,当布置中子探测系统的空间和距离受到限制时,研制的 PIN 脉冲中子探测器对 γ 脉冲辐射具有很强的抑制作用。因此,在 n,γ 混合脉冲辐射场的中子测量中,PIN 脉冲中子探测器是一种提高测量信噪比的新型探测器。

参考文献(References)

- 1 DING Hong-Lin. Semiconductor Detector and it's Applied. Beijing: Atom Energy Press, 1984 (in Chinese)
(丁洪林. 半导体探测器及其应用,北京:原子能出版社,1984)
- 2 OUYANG Xiao-Ping et al. Nuclear Electronica & Detection Technology. 2000, 20(5): 329—331 (in Chinese)
(欧阳晓平等. 核电子学与探测技术,2000,20(5): 329—331)
- 3 HU Meng-Chun et al. Nuclear Electronica & Detection Technology, 2002 22 (4):338—342 (in Chinese)
- 4 LIU Qing-Zhao. The Diagnosis Technology of Pulse Radiation Filed. Beijing: Science Press. 1994. 3—8 (in Chinese)
(刘庆兆. 脉冲辐射场诊断技术,北京:科学出版社,1994. 3—8)
- 5 OUYANG Xiao-Ping. The Dr. Thesis of FUDAN University, 2002, 7—10 (in Chinese)
(欧阳晓平. 复旦大学博士学位论文, 2002, 7—10)
- 6 HU Meng-Chun et al. High Energy Phys. and Nucl. Phys. 2003, 27 (4):354—358 (in Chinese)
(胡孟春等. 高能物理与核物理,2003, 27 (4):354—358)

A PIN Pulse Neutron Detector of Insensitive to Gamma^{*}

YANG Hong-Qiong^{1;1)} ZHU Xue-Bin¹ PENG Tai-Ping¹ TANG Zheng-Yuan¹

YANG Gao-Zhao¹ LI Lin-Bo¹ SONG Xian-Cai² HU Meng-Chun¹

1 (Institute of Nuclear Physics and Chemistry, China Academy of Engineering Physics, Mianyang 621900, China)

2 (Institute of Electronic Engineering, China Academy of Engineering Physics, Mianyang 621900, China)

Abstract A new type combination PIN detector was developed and studied using γ and 14MeV neutron radiations generated by Dense Plasma Focus device. The study shows that the detector is insensitive to γ radiation, and the sensitivity to neutron depends on the converter target of neutron radiation. The signal to noise of the detector is 30:1, it is a new type pulse neutron detector in the neutron and γ mixture radiations.

Key words PIN detector, pulse neutron detection, neutron and gamma mixture radiation fields

Received 11 November 2003, Revised 6 January 2004

* Supported by China Academy of Engineering Physics Science & Technique Fund (20030210) and J09 Project (J09-303)

1) E-mail: LXL4_me 1979@163.com